

## رفتار ژئوشیمیایی عناصر نادر خاکی در طی هوادیدگی سنگ و تشکیل خاک در سطح مشترک گلسنگ-سنگ در باتولیت گرانیتوئیدی شیرکوه استان یزد

دولت خسرویانی<sup>۱\*</sup>، علیرضا داودیان دهکردی<sup>۲</sup>، جواد گیوی<sup>۱</sup> و مریم شبیی<sup>۳</sup>

(تاریخ دریافت: ۱۳۹۳/۷/۱؛ تاریخ پذیرش: ۱۳۹۴/۵/۲۸)

### چکیده

مقادیر عناصر نادر خاکی با هدف بررسی رفتار این عناصر در سنگ گرانیت، خاک گرانیت و خاک بین سنگ و گلسنگی که بر روی این سنگ‌ها رشد کرده است، در شیرکوه استان یزد تعیین شد. الگوی عناصر نادر خاکی در گرانیت غنی از فسفر، توسط ترکیبی از فلدوسپارهای غنی از بوروپیم، آپاتیت غنی از عناصر نادر خاکی متوسط تا سنگین و مونازیت غنی از عناصر نادر خاکی سبک تعیین شد. الگوی عناصر نادر خاکی خاک‌ها و خاک‌های سطح مشترک گلسنگ-سنگ نرم‌الیز شده به سنگ گرانیت مادر روندی کاملاً یکسان و مشابه با سنگ مادر نشان دادند. سطح فراوانی غلظت عناصر نادر خاکی در نمونه خاک سطح مشترک گلسنگ-سنگ مشابه با غلظت این عناصر در ترکیب‌های طبیعی مرجع (پوسته بالایی قاره‌ای و میانگین فراوانی عناصر نادر خاکی شیل متعلق به بعد از آرکن استرالیا) بود و الگوی عناصر نادر خاکی نرم‌الیز شده به شیل متعلق به بعد آرکن در سه نمونه خاک سطح مشترک گلسنگ-سنگ، روندی کاملاً مشابه و نزدیک به محور مرجع نشان داد. یکسان بودن روند عناصر نادر خاکی از نمونه سنگ گرانیت تا خاک و خاک تشکیل شده در سطح مشترک گلسنگ-سنگ در مناطق خشک و نیمه‌خشک کوهستانی می‌تواند تأکیدی بر غیرمتحرک بودن عناصر نادر خاکی باشد و بتوان از آنها به عنوان ردیاب در مطالعات منشایابی خاک بهره برد.

واژه‌های کلیدی: عناصر نادر خاکی، ژئوشیمی، گرانیت، گلسنگ، شیرکوه یزد

۱. گروه خاک‌شناسی، دانشکده کشاورزی، دانشگاه شهرکرد

۲. گروه مرتع و آبخیزداری، دانشکده منابع طبیعی و علوم زمین، دانشگاه شهرکرد

۳. گروه پترولولوژی و زمین‌شناسی اقتصادی، دانشکده علوم زمین، دانشگاه صنعتی شاهرود

\*: مسئول مکاتبات: پست الکترونیکی: khosraviani.dolat@gmail.com

## مقدمه

خاص خود هستند، که این تفاوت ناشی از جرم و حالات اکسیداسیون متفاوت آنها می‌باشد. غلظت عناصر نادر خاکی که به عنوان تابعی از عدد اتمی (از عدد اتمی کم به زیاد) رسم می‌گردد، الگوی عناصر نادر خاکی نامیده می‌شود. عناصر نادر خاکی غلظت‌های متفاوتی، با یک کاهش کلی از لانتان تا لوتیم (La to Lu) را نشان می‌دهند (۱۴) و از طرفی عناصر نادر خاکی با عدد اتمی زوج پایدارتر و در نتیجه فراوان‌تر از عناصر نادر خاکی با عدد اتمی فرد هستند. به همین دلیل در نمودار ترکیب- فراوانی، الگویی زیگزاگ مانند از خود نشان می‌دهند (۲). برای رهایی از این روند و تفسیر بهتر الگوی توزیع عناصر، غلظت عناصر به یک مرجع مناسب نرمالیز می‌گردد، که این مرجع براساس نوع مطالعه تعیین می‌گردد (۲ و ۱۴).

الگوی نرمالیز شده عناصر نادر خاکی، غنی‌شدگی یا تهی شدن گروهی از عناصر نادر خاکی (Light REEs, Middle REEs و Heavy REEs) و یا یک عنصر خاص را نسبت به سایر عناصر نشان می‌دهد، که این تفاوت‌ها به ترتیت تفکیک جزء به جزء (Fractionation) و ناهنجاری (Anomaly) نامیده می‌شود (۱۵).

مطالعات بسیاری در زمینه عناصر نادر خاکی صورت گرفته که در اینجا تنها به ذکر چند مورد پرداخته شده است.

گالان و همکاران (۱۳) با مطالعه‌ای در شمال شرق اسپانیا بر روی خاک‌خ شدیداً هوادیده سنگ لوکوگرانیتی روند الگوی عناصر نادر خاکی در سنگ مادر، خاک هوادیده و اندازه مختلف ذرات خاک نرمالیز شده به کندریت، را روندی موازی با یکدیگر، و تنها با فراوانی کلی بیشتر نسبت به سنگ مادر گزارش کردند. قابل توجه‌ترین ویژگی، یکنواختی الگوهای عناصر نادر خاکی بیان شد، که الگوها دارای کمی غنی‌شدگی LREEs، تهی‌شدگی HREEs و ناهنجاری بسیار منفی Eu بودند. این بیانگر این واقعیت است که اغلب REEs از گرانیت مادر به خاک هوادیده انتقال یافته‌اند، و از طرفی یکسان بودن این روند در شرایط شدیداً هوادیده، نشان دهنده تحرک کم یا تفکیک‌پذیری جزئی این عناصر در طی فرایند انحلال و رسوب در محلول خاک می‌باشد.

خاک از تغییر و تحول مواد مادری تحت تأثیر فرایندهای مختلف فیزیکی، شیمیایی، بیولوژیکی تشکیل و در اثر شرایط انحلال و رسوب عناصر در محلول خاک و بازجذب توسط کانی‌ها که تماماً به عنوان فرایند پدوزنیک نامیده می‌شود، تکامل می‌یابد (۵). به دلیل متحرک بودن عناصر اصلی، انحلال و شستشو از خاک‌خ، و در نتیجه دشواری در کمی سازی فرایندهای پدوزنیک، ردیاب‌ها شناسایی شدند (۱۵).

ردیاب‌ها باید کم محلول و یا نامحلول در آب باشند، جذب پایینی توسط گیاهان داشته باشند، به محیط آسیب نرسانند و غلظت کمی در خاک داشته باشند. اکثر عناصر نادر خاکی گروه لانتانیدها (لانتان تا لوتیم) این ویژگی‌ها را دارا هستند (۲۳).

رفتار خاک در برابر عناصر نادر خاکی (Rare Earth Elements) و با اختصار (REEs) مشابه با سایر عناصر است و این توانایی عناصر نادر خاکی است که به دلیل تحرک پایین، حرکت عمودی قابل مشاهده‌ای در خاک‌خ ندارند و از سوی دیگر با اندازه‌های مختلف ذرات پیوند برقرار می‌کنند (۲۰ و ۲۳). رفتار متمایز این عناصر منجر به استفاده از آنها به عنوان ردیاب در فرایندهای پدوزنیک گردید (۱۳ و ۱۵).

توزیع و رفتار عناصر نادر خاکی در خاک‌خ هوادیده به شرایط فیزیکو‌شیمیایی محیط التراسیون و پایداری نسبی کانی‌های اولیه حامل عناصر نادر خاکی در سنگ مادر وابسته است (۷ و ۱۳). ترکیب کانی‌های اولیه، دلیل تفاوت در تحرک یک عنصر یا گروهی از عناصر نادر خاکی در طی فرایند هوادیدگی است. غلظت عناصر نادر خاکی در محلول خاکی توسط هوادیدگی کانی‌های سیلیکاته (هورنبلند، اپیدوت، فلدسپار و میکا)، فسفات‌ها (آپاتیت) و یا کانی‌های سنگین فرعی غنی از عناصر نادر خاکی (آلانیت و مونازیت) کترول می‌گردد. بعضی از فازها که از عناصر نادر خاکی غنی و در محیط پایدارند، در مورد آن عناصر خاص ایجاد ناهنجاری مثبت می‌کنند (۲۱).

عناصر نادر خاکی مجموعه‌ای از عناصر، با رفتار نزدیک اما



شکل ۱. (الف) موقعیت استان یزد در کشور، (ب) محدوده مطالعاتی در ناسخه گوگل ارث

این عناصر مورد بررسی قرار گیرد و بنابراین بتوان از این ویژگی در منشایابی خاک بهره برد. همچنین با بررسی رفتار عناصر نادر خاکی، عوامل کنترل کننده این عناصر در سنگ مادر و خاک گرانیتی تعیین گردیده است.

## مواد و روش‌ها

نقاط مورد مطالعه از محدوده‌های در  $40^{\circ}$  کیلومتری جنوب غرب شهرستان یزد در رشته‌کوه شیرکوه تعیین شد. با تولیت گرانیتوئیدی شیرکوه با سن ژوراسیک میانی درون بلوك یزد از خرده قاره ایران مرکزی واقع شده است، که این با تولیت از سه واحد اصلی گرانودیوریتی، مونزوگرانیتی و لوکوگرانیتی تشکیل گردیده است (۱).

از نقاط مورد مطالعه در تحقیق شبیه و اسماعیلی (۱) در محدوده شیرکوه، سه نقطه مطالعاتی در شبیه‌های شمالی شیرکوه، دو نمونه از واحد مونزوگرانیت SK<sup>۰۳۹</sup> و SK<sup>۰۷۴</sup> و یک نمونه از واحد لوکوگرانیت SK<sup>۰۶۰</sup> انتخاب گردید (شکل ۱). مختصات نقاط در جدول (۱) ارائه شده است. با هدف بررسی روند تغییرات عناصر نادر خاکی در نقاط مطالعاتی نمونه خاک تشکیل شده در سطح مشترک گلسنگ-سنگ گرانیت، نمونه سنگ گرانیت بکر، و نمونه خاک تکامل یافته از سنگ گرانیت جمع آوری شد. برای جمع آوری خاک سطح مشترک گلسنگ-سنگ، با استفاده از چاقو یا کاردک به

آگان و همکاران (۴) در مقایسه الگوی عناصر نادر خاکی رسوبات اتمسفری بهدام افتاده توسط گلسنگ و خزه، سنگ بستر و خاک هوادیده نرمایزشده به شیل متعلق به بعد از آرکن (PAAS) یا باختصار Post-Archean Australian Shale در ۶ منطقه جنگلی فرانسه روندی یکنواخت را گزارش کردند، و در نتیجه منشأ ذرات گرد و غبار بهدام افتاده توسط گلسنگ را سنگ بستر و یا خاک هوادیده منطقه دانستند.

چرنزلی و همکاران (۹) در مطالعه الگوی عناصر اصلی و عناصر نادر خاکی در گلسنگ و خزه در منطقه‌ای در شمال کانادا، الگوی عناصر نادر خاکی در تمام نمونه‌ها را یکسان، و الگوها صرف نظر از گونه‌ها و غلظت عناصر ثابت بیان شدند. غلظت عناصر نادر خاکی در گلسنگ و خزه ۱ تا  $3^{\text{۳}}$  برابر کمتر از متوسط غلظت عناصر نادر خاکی در پوسته بالای قاره‌ای (Crust Upper Continental) یا به اختصار UCC) اما با الگوهای مشابه گزارش شد. الگوی عناصر اصلی در این گونه‌ها مشابه، و بیانگر ترجیحی نبودن جذب فلزات توسط گلسنگ و خزه بیان شد.

در مقاله حاضر نتایج حاصل از مطالعه انجام شده بر روی روند تغییرات عناصر نادر خاکی در طی هوادیدگی سنگ گرانیت، تشکیل خاک و همچنین تشکیل خاک در سطح مشترک گلسنگ-سنگ گرانیت ارائه شده است، وسعتی شده است تا با بررسی روند عناصر نادر خاکی الگوی تحرک پذیری

جدول ۱. مختصات نقاط مطالعاتی در محدوده شیرکوه بزد

نمونه	سنگ‌شناسی	مختصات جغرافیایی (بر حسب درجه)
SK ۰۳۹	مونزوگرانیت	۶۳۵۰۶۸۳۱ N ۱۳۹۳۳/۵۴ E
SK ۰۶۰	لوکوگرانیت	۱۶۱۰۶۸۳۱ N ۲۲۰۳۳/۵۴ E
SK ۰۷۴	مونزوگرانیت	۵۳۶۳۲۸۳۱ N ۲۱۹۳۳/۵۴ E

مورد عناصر ایتریم، لاتان و سریم حداقل دقت  $5000\text{ ppm}$  و برای سایر عناصر نادر خاکی حداقل دقت  $1000\text{ ppm}$  می‌باشد. آنالیز آماری داده‌ها با استفاده از نرم‌افزار GCD-Kit در محیط نرم‌افزار R انجام شد. برای انجام سنگ‌شناسی و کانی‌شناسی سنگ گرانیت و توده خاک گرانیت عبوری از الک ۲۰۰۰ میکرون (قبل از آسیاب کردن)، مقاطع نازک سنگ و خاک تهیه شد. مقاطع در زیر میکروسکوپ پلاریزان مطالعه و عکس‌برداری انجام شد.

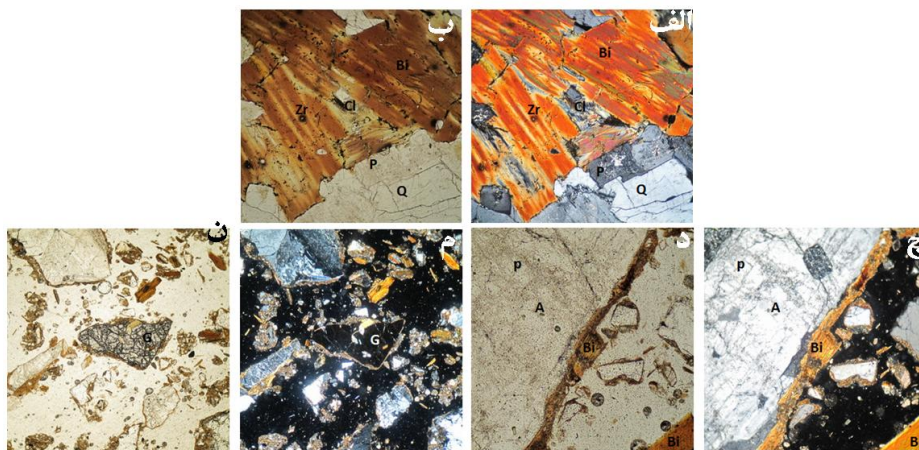
## نتایج و بحث

**مطالعه مقطع نازک سنگ گرانیت و خاک گرانیت**  
در مطالعه مقطع نازک نمونه سنگ مونزوگرانیتی SK ۰۷۴ و SK ۰۳۹ بلورها به ترتیب فراوانی و اندازه شامل کوارتز، پلازیوکلاز، آلکالی فلدسپار و بیوتیت می‌باشند و بیوتیت‌ها دارای ادخال‌های فراوان زیرکن، آپاتیت و مونازیت بودند. همچنین کانی مسکویت و کانی فرعی گارنت به مقدار بسیار محدود در مقطع سنگ قابل مشاهده بود.

در مطالعه مقطع نازک نمونه سنگ لوکوگرانیتی SK ۰۶۰ بلورها از نظر فراوانی به ترتیب شامل کوارتز، فلدسپار پتاسیم با بعد کوچک‌تر و گاهی به شکل پرستیت، پلازیوکلاز اسیدی (Na>Ca) و به مقدار کمتر بیوتیت، با ادخال‌هایی از زیرکن و آپاتیت قابل مشاهده بود. همچنین در زمینه سنگ، کانی مسکویت بیشتری نسبت به نمونه سنگ‌های مونزوگرانیتی دیده شد.

در مطالعه مقطع نازک نمونه خاک‌های ۳۹-۲ و ۷۴-۲، بلورهای کوارتز و بیوتیت به فراوانی دیده شد. بیوتیت‌ها

آرامی گلسنگ از سنگ جدا شد و خاک زیر گلسنگ، ناشی از هوازدگی بیولوژیکی گلسنگ بر روی سنگ گرانیت، درون نایلون مخصوص ریخته شد. برای جمع آوری خاک تکامل یافته از سنگ گرانیت، با حفر چاهک‌های کوچک با بیلچه توده کلی خاک تا روی سنگ بسترجمع آوری و درون نایلون ریخته شد، و نمونه‌ها به آزمایشگاه انتقال داده شدند. در آزمایشگاه با هدف بررسی روند تغییرات عناصر نادر خاکی در اندازه‌های مختلف ذرات خاک، خاک گرانیتی از الک ۲۰۰۰ و ۵۳ میکرون عبور داده شد. خاک عبوری از الک ۲۰۰۰ میکرون شامل مجموع اندازه‌های شن، سیلت و رس و خاک عبوری از الک ۵۳ میکرون شامل دو جزء سیلت و رس می‌باشد (برطبق سیستم طبقه‌بندی آمریکایی). نمونه خاک عبوری از الک ۲۰۰۰ میکرون و نمونه خاک سطح مشترک گلسنگ-سنگ گرانیت برای آنالیز با دستگاه ICP-MS و ICP-AES آسیاب شدند، به طوری که از الک ۲۰۰۰ مش (۷۴ میکرون) به راحتی عبور کردند. نمونه خاک عبوری از الک ۵۳ میکرون نیازی به آسیاب شدن نداشت. در آخر ۹ نمونه آماده شده شامل خاک سطح مشترک گلسنگ-سنگ، خاک عبوری از الک ۵۳ میکرون (جزء سیلت و رس)، و توده خاک (خاک عبوری از الک ۲ میلی‌متر و مجموع شن، سیلت و رس) که با علامت اختصاری تعریف شدند، برای انجام آنالیزهای رئوشیمی به آزمایشگاه ACME در کشور کانادا شهر ونکور ارسال گردید. در مورد نمونه سنگ از نتایج آنالیز شبیه و اسماعیلی (۱) استفاده گردید. عناصر اصلی توسط دستگاه ICP-AES و عناصر نادر خاکی توسط دستگاه ICP-MS آنالیز شدند. حداقل دقت برای عناصر اصلی  $10\text{ ppm}$  و حداقل دقت  $100\text{ ppm}$  بوده است. برای عناصر نادر خاکی در



شکل ۲. تصاویر میکروسکوپی از کانی‌های موجود در نمونه خاک‌های گرانیتی، تصاویر (الف، ج، م) XPL د و تصاویر (ب، د، ن) PPL تصاویر را نشان می‌دهد. Q: کوارتز، Bi: بیوتیت، Zr: زیرکونیوم، Cl: کلریت، A: آپاتیت و G: گارنت، پهنه‌ی میدان دید در تصاویر (الف، ب، ج، د) برابر با ۸٪ میلی‌متر و در تصاویر (م، ن) برابر با ۲ میلی‌متر است

پلاژیوکلاز و بیوتیت فراوان و لوکوگرانیت از فلدسپار پتاسیم غنی می‌باشد.

در صد اکسید تیتانیوم بالاتری در دونمونه SK<sub>0.39</sub> و SK<sub>0.74</sub> نسبت به SK<sub>0.60</sub> دیده می‌شود. تیتانیوم می‌تواند جانشین Al در کوردنیاسیون شش گردد و در کانی بیوتیت به صورت اسیرشده، حضور یابد، اما تیتانیوم در ساختار مسکویت دیده نمی‌شود (۳). طبق مطالعه سنگ‌شناسی، بیوتیت در دو نمونه SK<sub>0.39</sub> و SK<sub>0.74</sub> بیش از نمونه SK<sub>0.60</sub> مشاهده شد، و این حضور اکسید تیتانیوم بیشتر را قابل توجیه می‌سازد. شبیه و اسماعیلی (۱) در مطالعات خود به نتایج مشابهی دست یافتند. از طرفی کانی‌های سنگین موجود در ترکیب سنگ نیز میزان تیتانیوم می‌باشد.

برطبق نتایج آنالیز غلظت کل عناصر نادر خاکی برای دو نمونه SK<sub>0.39</sub> و SK<sub>0.74</sub> به ترتیب ppm ۱۹۸/۹ و ۷۷/۹ ppm و برای نمونه SK<sub>0.60</sub> به ترتیب ppm ۱۹۵/۵ و ۷۷/۹ ppm می‌باشد. از سوی دیگر غلظت  $P_2O_5$  در نمونه SK<sub>0.74</sub> و SK<sub>0.39</sub> نسبت به نمونه SK060 بالاتر است (شکل ۳)، شبیه و اسماعیلی (۱) با آنالیز تعداد نمونه‌های بیشتری از شیرکوه یزد به نتایج مشابه دست یافتند، که در شکل (۳) ارائه شده است.

عمدتاً به کلریت، و پلاژیوکلازها تا حدود زیادی به سریزیت و پرهنیت تجزیه یافته‌اند. در اثر تجزیه بیوتیت عنصر تیتانیوم آزاد و اسفن‌های ریز بلور و اکسیدهای تیتان و آهن در امتداد رخ‌ها تشکیل گردیده است. مسکویت، کانی فرعی گارنت، بلورهای زیرکن، و کانی کلسیت حاصل از تجزیه پلاژیوکلاز در زمینه خاک قابل مشاهده بود (شکل ۲).

در مطالعه مقطع نازک نمونه خاک S-۶۰-۲، کانی کلریت و اکسید آهن حاصل از تجزیه بیوتیت و پلاژیوکلاز، سریزیت و کلسیت حاصل از تجزیه پلاژیوکلاز، و کانی سنگین اسفن، مشاهده شد. همچنین زیرکن و آپاتیت به شکل ادخال در کانی بیوتیت قابل رویت بود (شکل ۲).

ژئوشیمی عناصر اصلی و عناصر نادر خاکی در نمونه سنگ نتایج آنالیز عناصر اصلی و عناصر نادر خاکی نمونه سنگ گرانیت در جدول (۲) ارائه شده است. دو نمونه SK<sub>0.39</sub> و SK<sub>0.74</sub> بالاترین محتوای  $Al_2O_3$ ,  $TiO_2$ ,  $P_2O_5$ ,  $CaO$  و  $MgO$  و نمونه SK<sub>0.60</sub> بالاترین محتوای  $K_2O$  و  $Na_2O$  را نشان می‌دهند. خصوصیات ژئوشیمی سه نمونه سنگ با سنگ‌شناسی آنها نیز مطابقت دارد. مونزوگرانیت‌ها دارای

جدول ۲: نتایج آنالیز عناصر اصلی و عناصر نادر خاکی (مقادیر اکسید عناصر به درصد و مقادیر عناصر نادر خاکی به ppm)

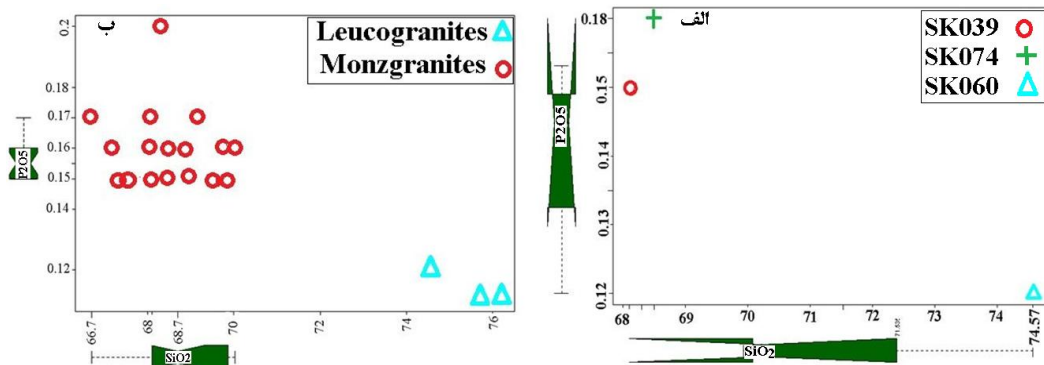
L-R	<۵۳ (µm)	<۲۰۰۰ (µm)	Rock	L-R	<۵۳ (µm)	<۲۰۰۰ (µm)	Rock	L-R*	<۵۳* (µm)	<۲۰۰۰* (µm)	Rock*	عناصر
L-۷۴	S-۷۴-۵	S-۷۴-۲	Sk۰۷۴	L-۶۰	S-۶۰-۵	S-۶۰-۲	Sk۰۶۰	L-۳۹	S-۳۹-۵	S-۳۹-۲	Sk۰۳۹.	
۵۳/۷۰	۵۸/۳۱	۶۴/۱۳	۶۸/۵۰	۴۹/۵۳	۵۳/۱۹	۶۲/۷۹	۷۴/۵۷	۴۶/۰۱	۵۰/۹۲	۵۶/۹۲	۶۸/۱	SiO <sub>۲</sub> (%)
۰/۷۹	۰/۹	۰/۶۲	۰/۵۲	۰/۶۸	۰/۶۷	۰/۳۷	۰/۰۵	۰/۶۸	۰/۷۹	۰/۷۴	۰/۴۴	TiO <sub>۲</sub>
۱۲/۲۵	۱۴/۰۷	۱۴/۶۷	۱۵/۱۰	۱۱/۴۴	۱۲/۵۱	۱۳/۴۶	۱۳/۱۴	۱۰/۷۸	۱۳/۱۱	۱۴/۷۶	۱۵/۶	Al <sub>۲</sub> O <sub>۳</sub>
۰/۸۴	۰/۸۴	۰/۸۴	۰/۸۴	۰/۸۴	۰/۸۴	۰/۸۴	۰/۸۴	۰/۸۴	۰/۸۴	۰/۸۴	۰/۸۴	Fe <sub>۲</sub> O <sub>۳</sub> (t)
۰/۱۰	۰/۱۲	۰/۰۹	۰/۰۸	۰/۱۰	۰/۱۰	۰/۰۹	۰/۰۴	۰/۰۹	۰/۱۰	۰/۱	۰/۰۶	MnO
۴/۵۸	۳/۸۰	۲/۳۳	۱/۱۳	۴/۴۷	۳/۸۰	۲/۱۶	۰/۱۴	۴/۷۰	۳/۸۸	۲/۹۱	۱/۱۵	MgO
۷/۰۳	۳/۸۲	۲/۷۵	۲/۶۹	۱۰/۰۳	۸/۵۴	۴/۱	۰/۵۸	۱۲/۲۹	۸/۱۷	۴/۵۸	۲/۱	CaO
۱/۶۵	۱/۷۶	۲/۲۵	۲/۷۹	۱/۴۴	۱/۶۲	۲/۰۹	۲/۹۴	۱/۲۷	۱/۳۴	۱/۷۸	۲/۸۹	Na <sub>۲</sub> O
۲/۰۸	۲/۴۴	۳/۱۰	۳/۶۳	۲/۰۵	۲/۳۴	۳/۶۵	۴/۸۰	۱/۹۵	۲/۴۳	۳/۴۷	۴/۰۲	K <sub>۲</sub> O
۰/۲۰	۰/۲۶	۰/۱۹	۰/۱۶	۰/۱۹	۰/۱۸	۰/۱۶	۰/۱۲	۰/۱۶	۰/۲۲	۰/۲	۰/۱۵	P <sub>۲</sub> O <sub>۵</sub>
۳۱/۰	۳۹/۸	۳۱/۰۰	۲۷/۲۰	۲۵/۵	۳۰/۹	۲۰/۵	۲۱/۲۵	۲۲/۳	۳۷/۲	۳۰/۶	۳۱/۸	Y(ppm)
۳۷/۳	۴۹/۲	۳۵/۴۰	۴۴/۱۰	۳۱/۲	۳۵/۶	۳۰/۹	۱۸/۸۴	۳۰/۷	۴۴/۲۰	۵۴/۷	۴۳/۱	La
۷۵/۶	۹۹/۳	۷۴/۵۰	۶۴/۲۰	۵۹/۰۰	۷۰/۴	۵۵/۹	۱۴/۴۴	۵۷/۹	۸۶/۳	۱۱۸/۱	۶۲	Ce
۸/۲۹	۱۰/۹۸	۸/۰۶	۷/۲۹	۶/۸۳	۷/۷۱	۶/۱۶	۱/۷۶	۶/۹۷	۹/۷۴	۱۴/۰۷	۷/۱۳	Pr
۳۱/۴۰	۴۲/۴	۳۰/۴۰	۲۷/۰۰	۲۶/۲۰	۲۷	۲۴/۱	۶/۹۱	۲۶/۲	۳۷/۲	۵۸/۷	۲۶/۸	Nd
۶/۶۰	۸/۴۸	۶/۲۱	۵/۶۳	۴/۹۸	۵/۶۱	۴/۶۷	۲/۴۴	۵/۱۷	۷/۵۲	۱۲/۳۶	۵/۶۸	Sm
۱/۰۹	۱/۲۵	۱/۰۴	۱/۰۱	۰/۹۸	۰/۹۲	۰/۶۳	۰/۱۵	۱/۰۱	۱/۰۹	۱/۳۰	۱/۰۵	Eu
۶/۰۶	۸/۰۵	۶/۱۴	۶/۰۷	۵/۲۳	۶/۰۳	۴/۳۳	۲/۶۸	۴/۷۷	۷/۰۹	۹/۲۵	۶/۲۱	Gd
۰/۹۷	۱/۳۱	۰/۹۹	۰/۸۷	۰/۸۳	۰/۹۴	۰/۷۲	۰/۰۷	۰/۷۵	۱/۱۳	۱/۲۰	۰/۹۵	Tb
۵/۵۵	۷/۱۲	۵/۷۸	۵/۲۸	۴/۸۰	۵/۶۹	۳/۷۸	۳/۸۷	۴/۳۶	۶/۵۸	۶/۲۲	۵/۹۴	Dy
۱/۱۲	۱/۶۱	۱/۱۷	۱/۰۱	۰/۹۰	۱/۱۵	۰/۸۲	۰/۷۰	۰/۸۷	۱/۳۱	۰/۹۸	۱/۱۲	Ho
۳/۳۲	۴/۴۰	۳/۳۲	۲/۹۱	۲/۳۷	۳/۱۵	۲/۳۲	۲/۰۷	۲/۵۷	۴/۱۲	۳/۰۶	۳/۴۳	Er
۰/۴۹	۰/۶۴	۰/۴۸	۰/۱۵	۰/۳۴	۰/۴۵	۰/۳۴	۰/۱۲	۰/۳۷	۰/۵۸	۰/۴۵	۰/۱۹	Tm
۳/۳۴	۴/۲۹	۳/۰۴	۲/۴۶	۲/۷۳	۲/۹۷	۲/۰۱	۱/۹۱	۲/۵۶	۴/۰۶	۲/۹۱	۳/۰۲	Yb
۰/۴۹	۰/۶۸	۰/۴۵	۰/۳۹	۰/۳۱	۰/۴۲	۰/۳۴	۰/۲۶	۰/۳۹	۰/۶۴	۰/۳۸	۰/۴۸	Lu

\*: سنگ گرانیت، نتایج آنالیز برگرفته از نتایج آنالیز شیبی و اسماعیلی (۱)؛ <۵۳\* و <۲۰۰۰\*: خاک تکامل یافته از سنگ گرانیت (۵۳ < خاک عبور کرده از الک ۵۳ µm : <۲۰۰۰ : خاک عبور کرده از الک ۲۰۰۰ µm )؛ L-R: خاک سطح مشترک گلسنگ-سنگ

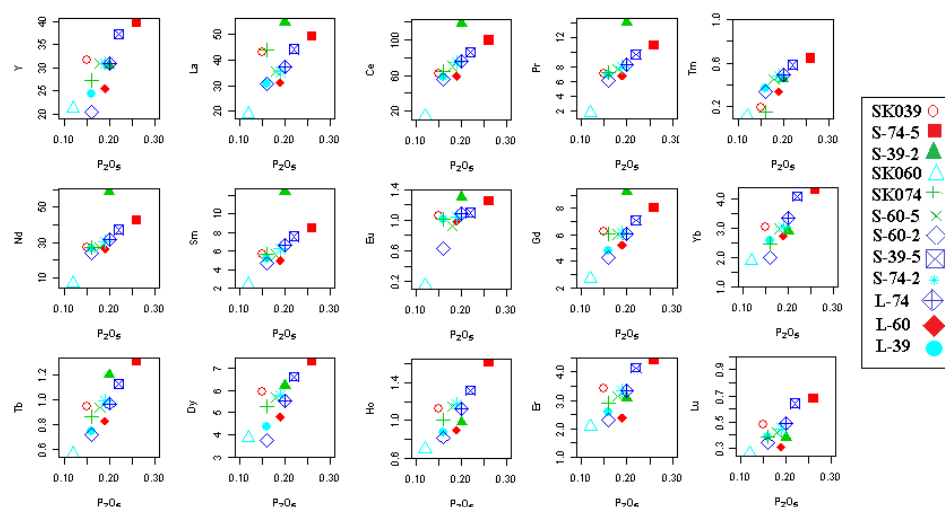
عناصر نادر خاکی (به جز بوروپیم) در گرانیتوئید توسط رفتار کانی‌های فرعی کترول می‌گردد (۶، ۱۳ و ۱۸).

در شکل (۵)، الگوی عناصر نادر خاکی سه نمونه سنگ

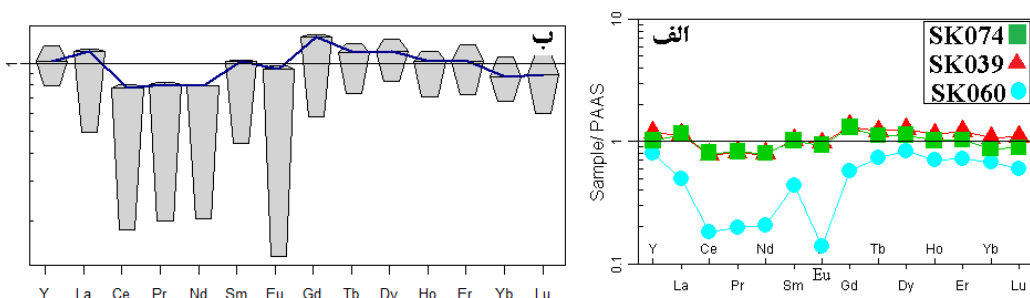
همچنین رابطه عناصر نادر خاکی در مقابل P<sub>۲</sub>O<sub>۵</sub> با نمودار هارکر رسم شده است (شکل ۴)، با افزایش مقدار فسفات، غلظت عناصر نادر خاکی افزایش نشان داده است. ژئوشیمی



شکل ۳. a) الف) سه نمونه سنگ مورد مطالعه و b) برگرفته از نتایج شبیه و اسماعیلی (۱)

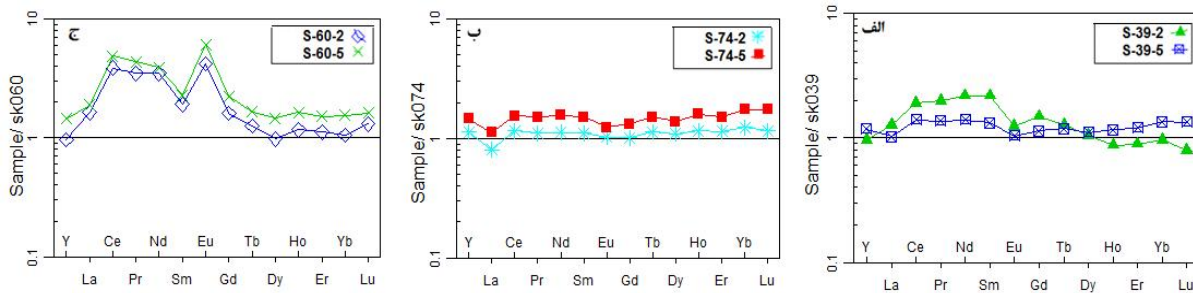


شکل ۴. نمودارهای هارکر عناصر نادر خاکی در مقابل  $\text{P}_2\text{O}_5$



شکل ۵. الگوی عناصر نادر خاکی برای سه نمونه سنگ گرانیت شیرکوه که به میانگین فراوانی عناصر نادر خاکی شبیه متعلق به بعد از آرکن استرالیا (PAAS) اقتباس از مکلنان (۱۷) نرمالیز و به دو صورت خطی و جمعه‌ایی ترسیم شده است

گرانیت نرمالیز شده به PAAS ارائه شده است. در دو متوجه و سنگین و در نمونه SK<sub>0</sub>60 تهی شدگی کلی عناصر نادر خاکی به خوبی قابل مشاهده است، همچنین ناهنجاری نمونه SK<sub>0</sub>39 و SK<sub>0</sub>74 کمی غنی شدگی عناصر نادر خاکی



شکل ۶. الگوی عناصر نادر خاکی خاک گرانیتی

(عبوری از الک ۲۰۰۰ میکرون و ۵۳ میکرون) نرمالیز شده به سنگ گرانیت مادر

عناصر نادر خاکی سنگین را گزارش کردند. واتسون و گرین (۲۲) به نتایج مشابه دست یافته‌اند.

ناهنجری بسیار منفی Eu در نمونه سنگ SK<sup>۰۶۰</sup> نسبت به دو نمونه SK<sup>۰۷۴</sup> و SK<sup>۰۳۹</sup> که به خوبی در شکل (۳) قابل مشاهده است، را می‌توان با مقادیر متفاوت فلدسپارها بیان کرد. در مطالعات سنگ‌شناسی پلازیوکلاز کانی غالب در SK<sup>۰۷۴</sup> و SK<sup>۰۳۹</sup> می‌باشد و حضور این کانی در SK<sup>۰۶۰</sup> بسیار کمتر می‌باشد، فلدسپارها حاوی مقدار قابل اغماضی از عناصر نادر خاکی به جزء یوروپیم می‌باشند و رفتار خاص یوروپیم در مقایسه با دیگر عناصر نادر خاکی ناشی از جانشینی  $\text{Eu}^{+2}$  با  $\text{Ca}^{+2}$  می‌باشد (۱۹). فلدسپارها تنها کانی سیلیکاته اولیه هستند که ناهنجاری مثبت Eu را بخوبی نشان می‌دهند (۱۳، ۱۶ و ۱۴). کامپتون و همکاران (۱۰) در مطالعه‌ای الگوی عناصر نادر خاکی پلازیوکلاز و فلدسپار پتسیم را مقایسه کردند. نتایج آنها ناهنجاری بسیار مثبت Eu، کمی غنی‌شدگی در REEs و کمی تهی‌شدگی در HREEs را برای پلازیوکلاز نشان داد.

**ژئوشیمی عناصر نادر خاکی در نمونه خاک گرانیت**  
الگوی عناصر نادر خاکی هر نمونه خاک گرانیت نرمالیز شده به سنگ مادر (شکل ۶) تجمع عناصر در خاک گرانیت را بیش از سنگ مادر نشان می‌دهد، و این توزیع رابطه خوبی با تبعیع اندازه ذارت دارد، که با اثر رقیق‌سازی کوارتن قابل بیان می‌باشد.

بسیار منفی یوروپیم ( $\text{Eu}/\text{Eu}^* = 0.28$ ) در این نمونه قابل توجه می‌باشد. حضور بیشتر کانی‌های سنگین، مونازیت، آپاتیت و پلازیوکلاز در دو نمونه مونزوگرانیت SK<sup>۰۳۹</sup> و SK<sup>۰۷۴</sup> نسبت به نمونه SK<sup>۰۶۰</sup> را می‌توان دلیلی بر این اختلافات دانست. تهی‌شدگی نسبتاً بالای REEs در نمونه SK<sup>۰۶۰</sup> را می‌توان با عدم حضور مونازیت در این سنگ بیان کرد.

مونازیت بیشترین مقادیر REEs را نسبت به سایر کانی‌ها در ساختار خود دارد (۶، ۱۳، ۱۵، ۱۸ و ۲۱). حضور این کانی به صورت ادخال در کانی بیوتیت در دو نمونه سنگ مونزوگرانیت و عدم وجود این کانی در نمونه سنگ لوکوگرانیت SK<sup>۰۶۰</sup> و سایر مقاطع نازک مطالعه شده توسط شبیی و اسماعیلی (۱) دلیل بر این ادعا است. همچنین پلازیوکلاز و اسفن که در نمونه‌های SK<sup>۰۷۴</sup> و SK<sup>۰۳۹</sup> حضور بیشتری دارند، REEs که از نظر شعاع یونی بزرگ‌تر از Eu هستند را بیشتر از HREEs در ساختار خود جای می‌دهند (۱۰). از سوی دیگر در هر سه نمونه آپاتیت حضور دارد، اما در نمونه‌های SK<sup>۰۳۹</sup> و SK<sup>۰۷۴</sup> فراوان‌تر از نمونه SK<sup>۰۶۰</sup> قابل مشاهده است، و آپاتیت از MREEs و HREEs غنی‌تر می‌باشد، و نسبت حضور این کانی در سه نمونه غنی‌شدگی بیشتر MREEs و HREEs را قابل توجیه می‌سازد. کامپتون و همکاران (۱۰) با مطالعه الگوی عناصر نادر خاکی آپاتیت نرمالیز شده به PAAS ناهنجاری منفی Eu، غنی‌شدگی عناصر نادر خاکی متوسط و تهی‌شدگی بیشتر عناصر نادر خاکی سبک نسبت به

توصیف کرد (۱۵).

(۱۳)، همچنین کانی‌های فرعی حامل REEs در اثر هوادیدگی در ذرات ریز بیشتر تجمع می‌یابند.

### ژئوشیمی عناصر نادر خاکی در نمونه خاک سطح مشترک گلسنگ-سنگ گرانیت

سطح فراوانی عناصر نادر خاکی در خاک سطح مشترک گلسنگ-سنگ مشابه با روند این عناصر در ترکیب‌های طبیعی PAAS (UCC) می‌باشد.

$\text{Ce} > \text{La} > \text{Nd} > \text{Y} > \text{Pr} > \text{Sm} > \text{Gd} > \text{Dy} > \text{Er} > \text{Yb} > \text{Eu} > \text{Ho} > \text{Tb} > \text{Lu} > \text{Tm}$ -الگوی عناصر نادر خاکی خاک سطح مشترک گلسنگ-سنگ گرانیت نرماییز شده به سنگ گرانیت مادر در شکل ۷-الف، ب، ج، روندی کاملاً مشابه با خاک گرانیت را نشان می‌دهند. ناهنجاری مثبت Eu در الگوی عناصر نادر خاکی به خوبی با هوادیدگی فلدسپارها و تجزیه سریع‌تر این کانی توسط گلسنگ قابل توجیه می‌باشد. اختلاف اندکی که در الگوی عناصر در خاک و خاک حاصل از تجزیه توسط گلسنگ مشاهده می‌شود، با تشکیل کمپلکس‌های آلی عناصر و خارج شدن آنها از فاز جامد قابل توجیه است.

الگوی عناصر نادر خاکی برای خاک سطح مشترک گلسنگ-سنگ گرانیت نرماییز شده به PAAS که در شکل ۷-د ارائه شده‌است، روندی کاملاً مشابه، با شکل نسبتاً مسطح و نزدیک به محور مرجع (PAAS) را نشان می‌دهد. آگنان و همکاران (۴) و چرنزلی و همکاران (۹) به نتایج مشابه دست یافته‌اند.

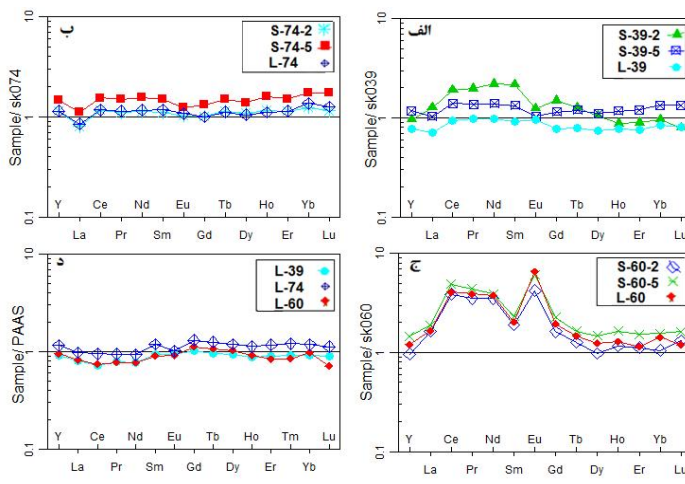
### نتیجه‌گیری

الگوی عناصر نادر خاکی در گرانیت غنی از فسفر توسط ترکیبی از فلدسپارهای غنی از یوروپیم، آپاتیت غنی از MREEs و مونازیت غنی از HREEs تعیین شد. الگوی عناصر نادر خاکی در سنگ گرانیت توسط کانی‌ها و در خاک گرانیتی توسط کانی‌ها و فرایندهای پدوژنیک کترل می‌گردد. با توجه به مشابه بودن روند الگوی عناصر نادر خاکی در سنگ، خاک و خاک سطح مشترک گلسنگ-سنگ می‌توان نتیجه

سنگ گرانیت مادر هر نمونه، به عنوان مرجع برای نرماییز کردن عناصر نادر خاکی آن نمونه در نظر گرفته شد. نرماییز کردن به یک مرجع درونی، تفکیک جزو به جزو و ناهنجاری عناصر نادر خاکی در طی فرایند پدوژنیز را بهتر نشان می‌دهد (۸ و ۱۶). کامپتون و همکاران (۱۰) و لاوف و همکاران (۱۶) بهترین مرجع برای نرماییز کردن عناصر نادر خاکی را سنگ بستر منطقه مورد مطالعه دانستند.

الگوی عناصر نادر خاکی خاک گرانیتی نرماییز شده به سنگ مادر (شکل ۶-الف و ۶-ب)، شکلی نسبتاً مسطح، با افزایش فراوانی نسبی عناصر را نشان می‌دهد. از سوی دیگر در شکل ۶-ج ناهنجاری مثبت Eu دیده می‌شود. این ناهنجاری مثبت را ناشی از تجزیه فلدسپارها می‌توان دانست، کانی که اغلب میزان یوروپیم می‌باشد. یوروپیم نسبت به سایر عناصر نادر خاکی در اثر هوادیدگی راحت‌تر آزاد می‌گردد و مجدداً تجمع می‌یابد و توسط سایتها دیگر مانند ورمیکولایت باز جذب می‌گردد، که این غنی‌شدگی نسبت به سایر عناصر نادر خاکی منجر به ناهنجاری مثبت می‌گردد.

غنی‌شدگی LREEs را با حضور کانی‌های رسی و اکسیدهای آهن در خاک و یا کانی‌های فرعی حامل LREEs مقاوم به هوادیدگی می‌توان توصیف کرد. کانی‌های رسی REE<sup>3+</sup> به علت جذب سطحی بالا قادر به باز جذب یون‌های رسی باشند (۱۴ و ۱۵). کانی‌های رسی از جمله ورمیکولایت و ایلایت ناشی از هوادیدگی اولیه بیشتر در مسکویت نسبت به بیوتیت (۱۲) و اکسیدهای آهن، عناصر نادر خاکی سبک را بیش از عناصر نادر خاکی سنگین جذب می‌کنند (۶ و ۱۰ و ۱۱ و ۱۵). حضور بیشتر اکسیدهای آهن، مسکویت و در نتیجه ایلایت در نمونه S-۶۰-۵-۲ می‌تواند دلیلی بر غنی‌تر بودن LREEs باشد (شکل ۶-ج). کمی غنی‌شدگی در HREEs را با حضور کلسیت ناشی از تجزیه پلاژیوکلاز، کلریت حاصل از تجزیه بیوتیت، و کانی‌های سنگین می‌توان



شکل ۷. (الف، ب و ج) الگوی عناصر نادر خاکی نرمالیز شده به سنگ گرانیت مادر  
د) الگوی عناصر نادر خاکی خاک حاصل از گلسنگ نرمالیز شده به

دارند و می توان از آنها به عنوان ردبایب در مطالعات منشایابی خاک بهره برد.

گرفت که عناصر نادر خاکی با منشأ مواد مادری در مناطق خشک و نیمه خشک با شرایط بارندگی کم ، تحرک ناچیزی

#### منابع مورد استفاده

- شیبی، م. و د. اسماعیلی. ۱۳۸۸. پتروژنر گرانیتوئیدهای پرآلومین شیرکوه (جنوب غرب یزد). مجله علوم دانشگاه تهران ۳۵(۳): ۸۳-۷۱
- کریم زاده ثمرین، ع. ا. ۱۳۹۱. کاربرد داده های ژئوشیمیایی (از زیابی، نمایش، تفسیر). چاپ اول، انتشارات دانشگاه تبریز.
- مر، ف. و ع. ا. شرفی. ۱۳۸۹. اصول ژئوشیمی. چاپ هفتم، انتشارات دانشگاه شیراز.
- Agnan, Y., N. Séjalon-Delmas and A. Probst. 2014. Origin and distribution of rare earth elements in various lichen and moss species over the last century in France. *Sci. Total Environ.* 487: 1-12.
- Alloway, B. J. 1990. The origins of heavy metals in soils. PP. 29-39. In: Alloway, B. J. (Ed.), *Heavy metal in soils*. John Wiley & Sons, Inc., New York.
- Aubert, D., P. Stille and A. Probst. 2001. REE fractionation during granite weathering and removal by waters and suspended loads: Sr. and Nd. isotopic evidence. *Geochim. Cosmochim. Acta*. 65(3): 387-406.
- Baeza, A., M. del Rio, A. Jimenez, C. Miro and J. Panigagua. 1995. Influence of geology and soil particle size on the surface area/volume activity ratio for natural radionuclides. *J. Radioanal. Nucl. Chem.* 189: 99-289.
- Bonnot-Courtois, C. 1981. Géochimie des terres rares dans les principaux milieux déformation et de sédimentation des argiles. Ph. D.Thesis, Sciences naturelles, Orsay campus, Paris-Sud University.
- Chiarenzelli, J., L. Aspler, C. Dunn, B. Cousens, D. Ozarko and K. Powis. 2001. Multi-element and rare earth element composition of lichens, mosses and vascular plants from the Central Barrenlands, Nunavut, Canada. *Appl. Geochem.* 16(2): 245-270.
- Compton, J. S., R. A. White and M. Smith. 2003. Rare earth element behavior in soils and salt pan sediments of a semi-arid granitic terrain in the Western Cape, South Africa. *Chem. Geol.* 201(3): 239-255.
- Coppin, F., G. Berger, A. Bauer, S. Castet and M. Loubet. 2002. Sorption of lanthanides on smectite and kaolinite. *Chem. Geol.* 182(1): 57-68.
- Dixon, J. B. and Weed, S. B. 1989. Minerals in soil environments. Soil Science Society of America Inc. 1-1194. Madison, Wisconsin. USA.
- Galán, E., J. C. Fernández-Caliani, A. Miras, P. Aparicio and M. G. Márquez. 2007. Residence and fractionation of

- rare earth elements during kaolinization of alkaline peraluminous granites in NW Spain. *Clay Miner.* 42(3): 341-352.
14. Henderson, P. 1984. Rare earth element geochemistry. Elsevier Science. 1-494. Amsterdam. Netherlands.
15. Laveuf, C. and S. Cornu. 2009. A review on the potentiality of rare earth elements to trace pedogenetic processes. *Geoderma.* 154(1): 1-12.
16. Laveuf, C., S. Cornu and F. Juillot. 2008. Rare earth elements as tracers of pedogenetic processes. *C. R. Geosci.* 340(8): 523-532.
17. McLennan, S. M. 1989. Rare earth elements in sedimentary rocks; influence of provenance and sedimentary processes. *Rev. Mineral. Geochem.* 21(1): 169-200.
18. Minařík, L., A. Žigová, J. Bendl, P. Skřivan and M. Št'astný. 1998. The behaviour of rare-earth elements and Y during the rock weathering and soil formation in the Říčany granite massif, Central Bohemia. *Sci. Total Environ.* 215(1): 101-111.
19. Panahi, A., G. M. Young and R. H. Rainbird. 2000. Behavior of major and trace elements (including REE) during Paleoproterozoic pedogenesis and diagenetic alteration of an Archaean granite near Ville Marie, Quebec, Canada. *Geochim. Cosmochim. Acta.* 64(13): 2199-2220.
20. Stevens, C. J. and J. N. Quinton. 2008. Investigating source areas of eroded sediments transported in concentrated overland flow using rare earth element tracers. *Catena.* 74: 31-36.
21. Taunton, A. E., S. A. Welch and J. F. Banfield. 2000. Geomicrobiological controls on light rare earth element, Y and Ba distributions during granite weathering and soil formation. *J. Alloys Compd.* (303-304): 30-36.
22. Watson, E. B. and T. H. Green. 1981. Apatite/liquid partition coefficients for the rare earth elements and strontium. *Earth Planet. Sci. Lett.* 56: 405-421.
23. Zhu, M. Y., S. D. Tan, W. Z. Liu and Q. F. Zhang. 2010. A review of REE tracer method used in soil erosion studies. *Agric. Sci. China.* 9(8) 1167-1174.